

## تهیه داربست‌های الیافی نانوکامپوزیتی پلی‌هیدروکسی‌بوتیرات / شیشه زیست‌فعال به روش الکتروریسی برای کاربردهای مهندسی بافت استخوان

راضیه آیرون<sup>۱</sup>، سعید کرباسی<sup>۲\*</sup>، مهدی مهدیخانی نهر خلجی<sup>۳</sup>، داریوش سمنانی<sup>۴</sup>

<sup>۱</sup> گروه بیومواد، دانشکده مواد، دانشگاه سمنان، سمنان، ایران

<sup>۲</sup> گروه نانوتکنولوژی و مهندسی بافت، دانشکده فناوری‌های نوین پزشکی، دانشگاه علوم پزشکی اصفهان، اصفهان، ایران

<sup>۳</sup> گروه مهندسی پزشکی، دانشکده مهندسی، دانشگاه اصفهان، اصفهان، ایران

<sup>۴</sup> گروه مهندسی نساجی، دانشکده مهندسی نساجی، دانشگاه صنعتی اصفهان، اصفهان، ایران

تاریخ ثبت اولیه: ۱۳۹۳/۱/۲۰، تاریخ دریافت نسخه اصلاح شده: ۱۳۹۳/۷/۲۶، تاریخ پذیرش قطعی: ۱۳۹۳/۷/۳۰

**چکیده:** به تازگی داربست‌های کامپوزیتی که به روش الکتروریسی تهیه می‌شوند خواص مطلوبی را جهت استفاده در مهندسی بافت از خود نشان داده‌اند. در این پژوهش ابتدا نانوذرات شیشه زیست‌فعال به روش سل-ژل تهیه شد سپس داربست‌های نانوکامپوزیتی PHB/nBG با ۷/۵ و ۱۰ و ۱۵ درصد وزنی از نانوذرات شیشه زیست‌فعال به روش الکتروریسی ساخته شدند. نانوذرات تهیه شده و داربست‌های ساخته شده توسط میکروسکوپ الکترونی روبیشی (SEM)، طیف سنج پراش اشعه ایکس (XRD)، فلورسانس اشعه ایکس (XRF)، طیف سنجی تبدیل فوریه مادون قرمز (FTIR) مشخصه‌یابی شدند. نتایج نشان داد شیشه زیست‌فعال تهیه شده دارای ساختاری آمورف بوده و اندازه ذرات آن‌ها کمتر از ۷۰ نانومتر می‌باشد. تصاویر SEM نشان داد که داربست‌های نانو الیافی دارای توزیع یکنواختی از تخلخل‌های به هم پیوسته با قطر الیاف ۳۲۶/۱ نانومتر تا ۱/۲۷۶ میکرومتر می‌باشند. همچنین تمایل به آگلومره شدن ذرات در کامپوزیت‌های با نانو ذرات بیش از ۷/۵ درصد وزنی مشاهده شد. نتایج حاصل از FTIR نیز نشان دهنده برهمکنش مناسب بین فاز شیشه و پلیمر در فصل مشترک آن‌ها می‌باشد. از نتایج بدست آمده چنین استنباط می‌شود که داربست‌های نانوکامپوزیتی PHB/nBG تهیه شده به روش الکتروریسی می‌توانند گزینه مناسبی برای کاربرد در مهندسی بافت استخوان باشند.

**کلمات کلیدی:** مهندسی بافت، الکتروریسی، سل-ژل، نانوذرات شیشه زیست‌فعال، پلی‌هیدروکسی‌بوتیرات

## Preparation of Nanocomposite Fibrous Scaffolds of Poly-3-hydroxybutyrate/Bioactive Glass by Electrospinning Method for Bone Tissue Engineering

R. Iron <sup>1</sup>, S. Karbasi <sup>2</sup>, M. Mehdikhani <sup>3</sup>, D. Semnani <sup>4</sup>

<sup>1</sup> Department of Material, University of Semnan, Semnan, Iran

<sup>2</sup> Department of Biomaterials, nanotechnology and tissue engineering, Advanced Medical Technology Department, Isfahan University of Medical Sciences, Isfahan, Iran

<sup>3</sup> Department of Biomedical engineering, Faculty of engineering, University of Isfahan, Isfahan, Iran

<sup>4</sup> Department of Textile Engineering, Isfahan University of Technology, Isfahan, Iran

**Abstract:** Recently, composite scaffolds prepared by electrospinning have shown desirable properties for tissue engineering applications. In this study, first the nBGs were prepared via the sol-gel technique, then, the electrospun PHB/nBG nanocomposite scaffolds (with 7.5, 10 and 15 wt% of nBGs) were fabricated. The nanoparticles and scaffolds were characterized by Scanning Electron Microscopy (SEM), X-ray diffraction spectrometer (XRD), X-ray fluorescence spectroscopy (XRF), Fourier transform infrared spectroscopy (FTIR). Results showed that nanoparticles with an amorphous structure mainly had a particle size of less than 70 nm. All the nano-fibrous scaffolds had a uniform distribution of interconnected porosities with fiber diameters ranging from 326.1 nm to 1.276 micrometer. Composite scaffolds having nanoparticle concentrations higher than 7.5 wt%, tend to agglomerate. In addition, the FTIR results showed a favorable interaction between the polymer and nBGs. Therefore, the proposed PHB/nBG scaffolds prepared in this study can be considered as good candidates for bone tissue engineering applications.

**Keywords:** Tissue engineering, Electrospinning, Sol-gel, Bioactive glass nanoparticles, polyhydroxybutyrate.

\* عهدہ دار مکاتبات

## ۱- مقدمه

فسفات‌ها، شیشه‌های زیست‌فعال، ولاستونیت و ... با توجه به مقاومت به خوردگی و مقاومت فشاری بالای آن‌ها منجر به حاصل شدن کامپوزیتی با زیست‌فعالی مناسب و خواص مکانیکی مطلوب می‌شود [۴،۶]. اگر این مواد در سایز نانو باشند به دلیل افزایش مساحت سطح ویژه باعث ارتقا خواص شده و در ضمن کامپوزیت از لحاظ ساختاری از بافت استخوان طبیعی پیروی می‌کند. استفاده از نانوذرات شیشه استخوان سازی بالای آن‌ها و همچنین داشتن خاصیت آنتی‌باکتریال می‌تواند گرینه مناسی برای ترکیب شدن با PHB باشد [۹،۸].

یکی دیگر از دغدغه‌های ساخت داربست‌ها در مهندسی بافت شباهت داربست از نظر مرفوولوژی و ساختار به ماتریس خارج سلولی (ECM) جهت چسبندگی، رشد و تکثیر بهتر سلول‌هاست [۱۰]. به همین دلیل استفاده از روش الکتروریسی برای رسیدن به داربست‌هایی که دارای الیاف با قطر میکرو و یا نانو هستند مورد توجه قرار گرفته است. در این فرآیند از یک میدان الکتریکی با ولتاژ بالا استفاده می‌شود به طوری که محلول پلیمری با عبور از میدان و تبخیر شدن حلال در این مسیر، به صورت الیاف بر روی جمع کننده قرار می‌گیرد. در همین راستا کوراکت و همکارانش از روش الکتروریسی برای ساخت داربست‌های PHB/PHBV استفاده کردند و بررسی‌های سلولی بر روی آن‌ها انجام دادند. نتایج نشان داد که این داربست‌ها هیچ گونه پاسخ منفی نسبت به استئوبلاست‌های انسانی (SaOS-2) و فایبروبلاست‌های موش (L929) ندارند به طوری که سلول‌ها پس از ۱۶ ساعت به خوبی بر روی داربست‌ها چسبیدند. همچنین این داربست‌ها فعالیت آلکالین فسفات‌بالایی را از خود نشان دادند [۱۱].

النا و همکارانش نیز کامپوزیتی از PHBV، nHA و SF (ابریشم) را به روش الکتروریسی تهیه کردند و خواص مکانیکی و فیزیکی، مرفوولوژی و ساختار، زیست‌فعالی و زیست تخریب پذیری آن‌ها را مورد بررسی قرار دادند. تصاویر SEM، فیبرهایی به هم پیوسته و هموار را نشان داد که قطر فیبرها بین ۱۰ تا ۱۵ میکرومتر بود. نتایج آنالیز FTIR نیز حضور HA و SF را بر روی الیاف ثابت کرد. آزمون‌های

امروزه استفاده از روش‌های جراحی مانند آتوگرفت‌ها، آلوگرفت‌ها و استفاده از انواع ایمپلنت‌ها برای درمان عیوب استخوانی ناشی از شکستگی‌ها، تومورها و ... با محدودیت‌های زیادی مواجه می‌باشد [۱] به همین دلیل دانش مهندسی بافت در راستای ترمیم و احیای بافت آسیب دیده مورد توجه واقع شده است. یکی از اجزای اصلی مهندسی بافت، داربست‌ها می‌باشند. در مهندسی بافت استخوان نیز داربستی با ساختار سه‌بعدی با خواص و ساختار مشابه بافت طبیعی برای انجام کشت سلولی و کاشت در محل مورد نظر ساخته می‌شود. با توجه به ویژگی‌های داربست‌ها از قبیل زیست سازگاری، زیست تخریب پذیری، زیست‌فعالی، داشتن خواص مکانیکی مطلوب، داشتن ساختار متخلخل به هم پیوسته و ... تا کنون مواد و روش‌های متنوعی برای ساخت داربست‌ها مورد استفاده قرار گرفته‌است [۲، ۳]. یکی از انواع پلیمرهایی که مورد توجه قرار گرفته، دسته‌ای از پلی‌استرهای طبیعی با نام پلی‌هیدروکسی‌آلکانوات (PHA) می‌باشد که یا به تنهایی و یا در ترکیب با مواد دیگر در کاربردهای بیوپیزشکی مانند نخ‌های بخشی، فنرها، چسب‌ها، پین‌های اورتوپدیک، داربست‌ها و ... مورد استفاده قرار می‌گیرد [۴، ۵].

یکی از اجزای شناخته شده این گروه از پلیمرها، پلی‌هیدروکسی‌بوتیرات (PHB) است. این پلیمر دارای خواص قابل توجهی مانند زیست تخریب پذیری، زیست سازگاری با رده‌های مختلف سلولی از جمله استئوبلاست‌ها، اپیتلیوم‌ها، کوندروسایت‌ها می‌باشد [۶، ۵]. در ضمن این پلیمر به دلیل پیزوالکتریک بودن باعث تحریک رشد سلول‌های استخوانی و در نتیجه احیای بافت می‌شود [۷]. محققان هنگام استفاده از PHB برای ساخت داربست‌های مهندسی بافت برای جبران نقطه ضعف‌های این پلیمر از جمله نامطلوب بودن خواص مکانیکی و عدم زیست‌فعالی، آن را در کنار مواد دیگری به صورت کامپوزیت استفاده می‌کنند. در واقع علت مهم گسترش بیو کامپوزیت‌ها امکان تغییر نوع و توزیع فاز تقویت کننده در زمینه می‌باشد که نتیجه آن داشتن کامپوزیت‌هایی با رنج گسترده‌ای از خواص مکانیکی و بیولوژیکی است [۶]. بنابراین ترکیب این پلیمر با فازهای سرامیکی مانند انواع کلسیم

بافت استخوان استفاده شد و به دلیل مزیت‌های ذرات شیشه زیست‌فعال نسبت به HA از جمله زیست‌فعال بودن بیشتر و دارا بودن خاصیت آنتی باکتریال آن‌ها [۸] از این ذرات استفاده شد. بنابراین در این پژوهش در جهت بازسازی عیوب استخوانی، داربست‌های الیافی نانوکامپوزیتی PHB/Bioglass با XRD روش الکتروریسمی تهیه و سپس آنالیزهای SEM، FTIR، و روش مشخصه‌یابی نمونه‌ها انجام شد.

## ۲- روش تحقیق

### ۲-۱-۲ مواد

پودر پلی‌هیدروکسی‌بوتیرات (LOT Number: STBB9669V, CAS Number: 29435-48-1, Mw = 300,000 g mol<sup>-1</sup>) از شرکت سیگما-آلدریچ ایالت متحده آمریکا و کلروفورم (CF) و دی‌متیل فرمامید (DMF) از مرک آلمان خریداری شد.

نانوذرات شیشه زیست‌فعال با استفاده از روش سل-تل در پژوهشکده مواد دانشگاه امیر کبیر ساخته شد.

### ۲-۲-۲ سنتز نانوذرات شیشه زیست‌فعال

شیشه زیست‌فعال مورد مطالعه به سیستم SiO<sub>2</sub>-CaO-P<sub>2</sub>O<sub>5</sub> با ترکیب ۵۶S ۵۶T تعلق دارد. جهت تهیه شیشه به روش سل-تل ابتدا ۱۵ میلی لیتر از آب، ۵۰ میلی لیتر اتانول و ۱۸ میلی لیتر تری‌اتیل اورتوسیلیکات به همراه ۲/۵ میلی لیتر اسید هیدروکلریک ۲ نرمال به هم اضافه و به مدت ۳۰ دقیقه در دمای محیط با دور ثابت همزده شد. در مرحله بعد ۲ میلی لیتر تری‌اتیل فسفات به سل اسیدسیلیکا افزوده شد. پس از ۲۰ دقیقه، ۱۳ گرم کلسیم نیترات چهارآبه به عنوان پیش‌ساز کلسیم به ظرف اضافه گردید. محلول مذکور یک ساعت دیگر روی همزن مغناطیسی، قرار گرفت.

سل بدست آمده جهت پیرسازی درون آون با دمای ۶۰ درجه سانتی‌گراد و مدت زمان ۵۲ ساعت قرار گرفت. پس از پیرسازی مجددًا پودر سفید رنگ حاصل به مدت ۴۸ ساعت در آون با دمای ۱۳۰ درجه سانتی‌گراد گذاشته شد. در مرحله آخر پودر خشک شده جهت فرآیند کلسیناسیون به مدت ۱ ساعت در کوره الکتریکی با دمای ۶۰۰ درجه سانتی‌گراد قرار گرفت

مکانیکی بیانگر این امر بود که نمونه‌های حاوی ۲٪ وزنی از هر تقویت کننده مدول یانگ را افزایش می‌دهند. تشکیل لایه HA بعد از ۲۸ روز بر روی کامپوزیت‌ها، نشان دهنده زیست‌فعال بودن آن‌ها بود در واقع تشکیل کریستال‌های HA بر روی سطح فیبرها باعث چسبندگی و تکثیر سلول‌های استئوبلاست در محیط‌های درون تنی می‌شود [۱۲]. حاجی‌علی و همکارانش کامپوزیتی از PHB را به همراه درصدهای متفاوتی از نانوذرات شیشه زیست‌فعال به روش شستشوی نمک (با ۷۰، ۸۰ و ۹۰ درصد وزنی نمک) تهیه کردند. نتایج آنالیزهای DTA و FTIR بیانگر برهمکنش خوب نانوذرات با پلیمر در فصل مشترک بود. تصاویر SEM داربست‌ها نشان داد که داربست‌ها دارای ساختار متخلخل درون‌مرتبه می‌باشند و سایز تخلخل‌ها بین ۲۵۰ تا ۳۰۰ میکرومتر است که برای چسبندگی، تکثیر و مهاجرت سلول‌ها مناسب می‌باشد. نتایج تست‌های مکانیکی نشان داد که با کاهش تخلخل‌ها (کاهش میزان نمک) و همچنین افزایش نانوذرات شیشه، مدول الاستیک و استحکام کششی نمونه‌ها به طور محسوسی افزایش می‌یابد. نتایج آزمون زیست‌فعالی داربست‌ها بیانگر تشکیل HA بر روی نمونه‌ها و در نتیجه زیست‌فعالی آن‌ها بود. نتایج تخریب داربست‌ها در محلول PBS نیز نشان داد که افزایش میزان تخلخل‌ها و همچنین افزایش نانوذرات باعث افزایش نرخ تخریب و درصد کاهش وزن نمونه‌ها می‌شود [۱۶]. تهرانی و همکارانش داربست‌های فیبری نانوکامپوزیتی PHB/nHA را به روش الکتروریسمی تهیه و مشخصه‌یابی کردند. تصاویر SEM نشان داد که داربست‌ها دارای ساختار الیافی با قطر نانو می‌باشند و ذرات HA به صورت همگن بر روی آن‌ها توزیع شده است. طیف IR هم نشان‌دهنده تغییر قابل توجه در شدت پیک‌ها، توزیع و جابجایی آن‌ها نسبت به طیف اجزا سازنده بود و به این معناست که باندهای هیدروژنی بین گروه کربونیل پلیمر و گروه فسفات نانوذرات به خوبی شکل گرفته‌اند. نتایج تست کشش حاکی از آن بود که با افزایش نانوذرات تا ۵٪ وزنی مدول افزایش یافته و پس از آن کاهش مدول مشاهده می‌شود [۶]. با توجه به مطالعات ذکر شده (خصوصاً دو مطالعه [۱۶ و ۶])، در این تحقیق از روش الکتروریسمی در راستای رسیدن به داربستی با ساختار مشابه با

اضافه و مجدداً روی همزن به مدت ۳۰ دقیقه قرار گرفت. سپس برای توزیع یکنواخت و بهتر ذرات در محلول و جلوگیری از آگلومره شدن ذرات، محلول برای ۲۰ تا ۳۰ دقیقه توسط هموژنایزر هم خورد و بلافاصله الکتروریسی شد. به منظور الکتروریسی محلول از جمع کننده ثابت استفاده گردید و فاصله بین نازل و جمع کننده ۲۰ سانتی‌متر درنظر گرفته شد.

#### ۵-۲- طیف سنج پراش اشعه ایکس (XRD)

یکی از الزامات لازم برای نانوذرات شیشه زیست‌فعال، آمورف بودن آن‌هاست به همین دلیل اولین آزمون انجام شده پس از ستر ذرات، XRD بود. ترکیب فازی و کریستالینیتی نانوذرات حاصل با طیف‌سنج پراش اشعه ایکس (XRD) دارای مشخصات D8-ADVANCE Bruker و با طول موج ۰/۱۵۴۰۶ nm با زاویه ۲۰ در گستره ۲۰ تا ۸۰ درجه در دانشکده مواد دانشگاه سمنان بررسی شد.

#### ۶-۲- فلورسانس اشعه ایکس (XRF)

برای تأیید ترکیب شیشه زیست‌فعال آزمون طیف‌سنج فلورسانس اشعه ایکس (XRF) با مشخصات PIONEER Bruker, S4 انجام شد.

#### ۷-۲- طیف سنجی تبدیل فوریه مادون قرمز (FTIR)

جهت بررسی گروه‌های عاملی، ساختار پلیمر پلی‌هیدروکسی‌بوتیرات خالص، نانوذرات شیشه زیست‌فعال و نانوکامپوزیت از آنالیز FTIR (دستگاه مدل FTIR IASCO ۴۰۰-۴۰۰ cm<sup>-1</sup>) استفاده شد. برای انجام آزمون نمونه‌ها باید به صورت پودری یا شفاف باشند تا طیف FTIR را از خود عبور دهند و یا به صورت یک فیلم با سطح IR نسبتاً صاف تا بتوانند طیف IR را منعکس کنند که در این حالت تست به صورت ATR-FTIR انجام می‌شود. در این طرح از پودر پلیمر و نانوذرات شیشه زیست فعال تست FTIR و از داربست نانوکامپوزیتی حاوی ۱۰ درصد وزنی نانوذرات شیشه، تست ATR-FTIR گرفته شد و در نهایت نتایج این سه طیف با هم مقایسه گردید.

[۹،۸]. سپس پودر حاصل مشخصه‌یابی شد.

#### ۳- ساخت داربست پلیمری نانواليافی

با توجه به مطالعات قبلی که بر روی غلظت محلول، ولتاژ اعمالی و نسبت حلال‌ها برای ساخت داربست‌ها به روش الکتروریسی صورت گرفت [۱۳]، ۶ داربست پلیمری با غلظت و ولتاژ‌های متفاوت ساخته شد (جدول ۱). روش کار به این صورت بود که پس از توزین مقدار موردنیاز از پلیمر حلال‌های CF و DMF به پلیمر اضافه شدند سپس محلول در دمای ۶۰ درجه سانتی‌گراد به مدت زمان ۳۰ دقیقه روی همزن مغناطیسی قرار گرفت. در مرحله آخر محلول پلیمری شفاف حاصل الکتروریسی شد. برای تمامی نمونه‌ها فاصله نازل تا جمع‌کننده (۲۰ سانتی‌متر) و نرخ تغذیه (۱۰ میلی‌لیتر بر ساعت) ثابت درنظر گرفته شد. از حلال‌های CF و DMF به ترتیب با نسبت ۹ به ۱ استفاده گردید. سپس نمونه‌های تهیه شده مشخصه‌یابی و از بین آن‌ها داربستی که دارای شرایط بهینه از لحاظ مرغولوزی شامل حجم و سایز مناسب تخلخل‌ها و درون‌مرتبه مناسب آن‌ها و همچنین داشتن الیافی با قطر بهینه بود، برای ساخت داربست نانو کامپوزیتی پلیمر/شیشه زیست‌فعال انتخاب شد.

جدول ۱. مشخصات داربست‌های ستر شده.

نام نمونه	غلظت محلول (%)	ولتاژ اعمالی (kv)
S <sub>1</sub>	۶	۹
S <sub>2</sub>	۶	۶/۱
S <sub>3</sub>	۵	۱۲
S <sub>4</sub>	۵	۸/۵
S <sub>5</sub>	۴	۸
S <sub>6</sub>	۴	۶

#### ۴- ساخت داربست نانوکامپوزیتی PHB/nBG

برای تهیه این داربست‌ها ابتدا به همان روش قبل محلول پلیمری تهیه گردید. سپس نانوذرات شیشه زیست‌فعال با سه درصد وزنی مختلف ۷/۵، ۱۰ و ۱۵ به محلول پلیمری

### ۲-۲- نتایج XRF

نتایج XRF، شیشه زیستفعال تشكیل شیشه با ترکیب  $\text{SiO}_2$ - $\text{CaO}$ - $\text{P}_2\text{O}_5$  را  $56/22 \text{ mol\% SiO}_2$ - $31/34 \text{ mol\% CaO}$ - $7/03 \text{ mol\% P}_2\text{O}_5$  تأیید می کند (جدول ۲). با توجه به اینکه در مطالعات قبلی برای شیشه های زیستفعال با ترکیبات همچون  $58\text{S}$  و یا  $63\text{S}$  خاصیت آنتی باکتریال اثبات شده است، می توان پیش بینی کرد که شیشه تهیه شده در این تحقیق با ترکیب  $56\text{S}$  نیز به دلیل داشتن مقدار کلسیم بالاتر و در نتیجه ایجاد محیط بازی بیشتر، دارای خاصیت آنتی باکتریال می باشد و یک نقطه قوت برای این شیشه محسوب می شود [۸].

جدول ۲. ترکیب نهایی شیشه زیستفعال حاصل از آزمون XRF

غله‌ت (٪w/w)	ترکیب
۵۶/۲۲	$\text{SiO}_2$
۳۱/۳۴	$\text{CaO}$
۷/۰۳	$\text{P}_2\text{O}_5$

### ۳-۳- نتایج SEM

#### ۱-۳-۳- نتایج FESEM ذرات شیشه زیستفعال

شکل (۲) تصاویر FESEM شیشه زیستفعال را در دو بزرگنمایی مختلف نشان می دهد. یکی از اهداف ما برای انتخاب روش سل - ژل جهت سنتز شیشه، بدست آوردن ذراتی با سایز نانو بود. با توجه به شکل اندازه ذرات در گستره‌ی ۳۰ تا ۷۰ نانومتر به دست آمده است. از نظر مرفوولوژی ذرات تقریباً کروی بوده و مشابه هم هستند. از طرفی انباستگی ذرات نیز در تصویر قابل مشاهده است. هنگامی که ذرات با اندازه‌های متفاوت در کنار یکدیگر قرار می گیرند باعث بوجود آمدن فضاهای متخلخل می شوند که باعث تخریب پذیری سریع تر می شوند. در اینجا نیز این پدیده مشاهده می شود.

### ۸-۲- میکروسکوپ الکترونی روبشی (SEM)

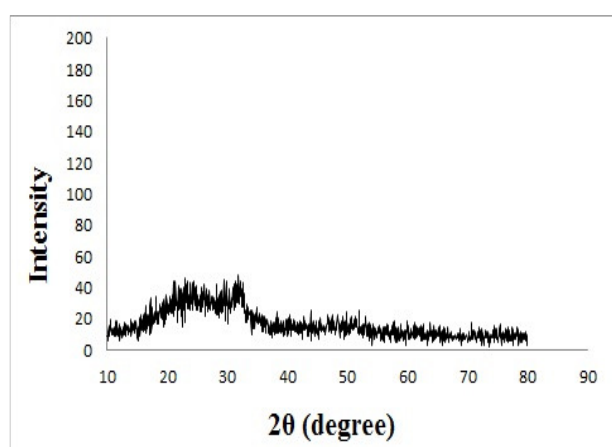
بررسی مرفوولوژی داربست‌های پلیمری از نظر اندازه متخلخل‌ها، نحوه توزیع متخلخل‌ها، درون مرتبه آنها و مشخص شدن قطر الیاف توسط میکروسکوپ الکترونی روبشی (SEM)، با دستگاه ۳۲۰۰ KYKY-EM (کیکی-ام) انجام شد. همچنین جهت بررسی توزیع ذرات شیشه بر روی الیاف و تاثیر آنها بر روی مرفوولوژی الیاف این آزمون بر روی داربست‌های نانوکامپوزیتی نیز انجام گردید.

بررسی مرفوولوژی و اندازه ذرات پودر شیشه زیستفعال نیز توسط میکروسکوپ الکترونی عبوری گسیل میدانی (FESEM) صورت گرفت.

### ۳- نتایج و بحث

#### ۱-۳- نتایج XRD

شکل (۱) نمودار XRD ذرات شیشه زیستفعال را نشان می دهد. همان‌طور که مشاهده می شود نانوذرات شیشه زیستفعال تهیه شده، دارای ساختاری آمورف می باشدند بنابراین استدلال می شود که روش سل - ژل می تواند روش مناسبی برای تولید نانوذرات شیشه زیستفعال باشد زیرا همان‌طور که قبلاً اشاره شد برای تهیه داربست‌های استخوانی، نانوذرات شیشه دارای ساختاری آمورف نیاز می باشد. از سوی دیگر فعالیت ضد باکتریایی شیشه زیستفعال، تحت تاثیر ترکیب شیمیایی و شرایط تجزیه آن در محیط اطرافش است [۸] بنابراین آمورف بودن شیشه فاکتوری مثبت در جهت افزایش تجزیه آن می باشد.



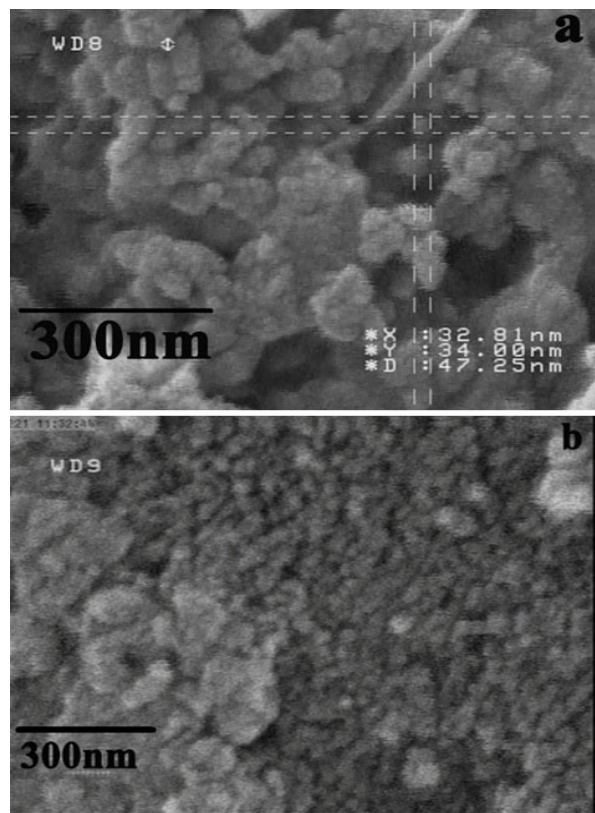
شکل ۱. منحنی XRD نانوذرات شیشه زیستفعال.

دامنه بهینه از ولتاژ، افزایش ولتاژ باعث کشیده شدن بیشتر زنجیره‌های پلیمری و در نتیجه الیافی نازک‌تر با منافذ بزرگ‌تر و درون‌مرتبه‌ی بهتر حاصل می‌شود. همچنین نتایجی که از طریق برنامه نویسی مطلب برای محاسبه میزان حجم تخلخل‌ها بدست آمد [۱۴] نشان می‌دهد حجم تخلخل‌ها در تمامی داربست‌ها بالای ۸۰٪ می‌باشد و بیشترین حجم تخلخل متعلق به لایه اول است و با پیشروی به سمت لایه دوم و سوم از میزان آن‌ها کاسته می‌شود (جدول ۳). نتیجه دیگری که از محاسبه میزان تخلخل‌ها می‌توان گرفت این است که اثر تغییر ولتاژ بر روی داربست‌هایی با غلاظت‌های یکسان قابل صرف نظر است.

با توجه به نتایج تصاویر SEM و نتایج مربوط به جدول (۳)، داربست پلیمری  $S_1$  به دلیل داشتن الیافی با قطر نانو، حجم بالای تخلخل (۸۴٪) و درون‌مرتبه‌ی خوب تخلخل‌ها، برای تهیه داربست نانوکامپوزیتی انتخاب گردید. در واقع نانوذرات شیشه زیستفعال با درصدهای وزنی ۷/۵، ۱۰ و ۱۵ به محلول ۶ درصد وزنی پلی‌هیدروکسی‌بوتیرات اضافه شدند.

جدول ۳. میزان حجم تخلخل در داربست‌های پلیمری (٪).

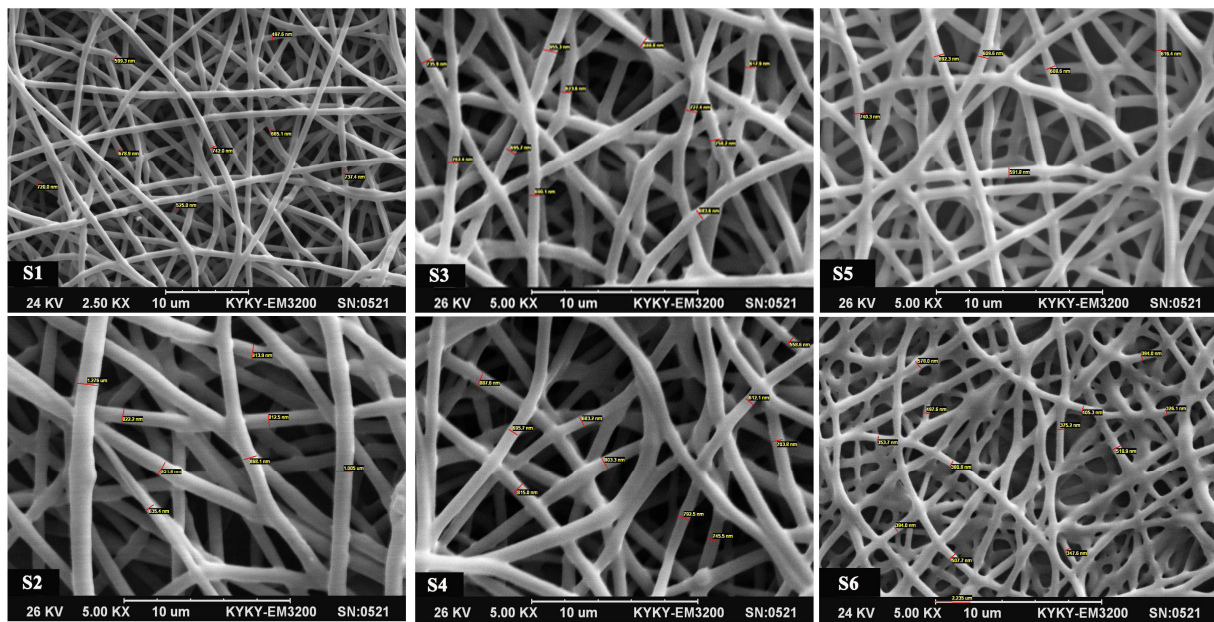
نام نمونه	خلخل لایه اول	خلخل لایه دوم	خلخل لایه سوم
$S_1$	۸۴/۰۹	۵۱/۶۵	۲۰/۲۶
$S_2$	۸۲/۲۷	۵۳/۵۰	۲۱/۷۷
$S_3$	۸۱/۹۲	۵۱/۱۷	۲۱/۸۱
$S_4$	۸۲/۶۲	۵۲/۲۵	۲۳/۷۰
$S_5$	۸۳/۹۴	۴۸/۰۸	۲۰/۸۳
$S_6$	۸۳/۷۷	۵۰/۶۶	۱۹/۸۲



شکل ۲- تصاویر FESEM نانوذرات شیشه زیستفعال.

### ۲-۳-۳- تصاویر SEM داربست‌های پلیمری

برای بدست آوردن شرایط بهینه برای ساخت داربست‌های نانوکامپوزیتی، ۶ داربست پلیمری با غلاظت‌های متفاوت از پلیمر و اعمال ولتاژ متفاوت تهیه شد. شکل (۳) تصاویر SEM بدست آمده از این داربست‌ها را نشان می‌دهد. نتایج حاکی از آن است که با افزایش غلاظت محلول پلیمری، قطر الیاف افزایش می‌یابد و درون‌مرتبه‌ی تخلخل‌ها تا حدودی کاهش می‌یابد. از طرف دیگر ولتاژ اعمالی از پارامترهای مؤثر در فرآیند الکتروریسی است اما در اولویت دوم قرار دارد و اثر آن به اندازه غلاظت محلول نیست. می‌توان گفت در یک



شکل ۳. تصاویر SEM از داربست‌های فیبری PHB بدون گره که با قطر الیاف بین  $1\text{nm}$  و  $326\text{ }\mu\text{m}$  (S<sub>1</sub>) و  $6\text{ }\mu\text{m}$  (S<sub>6</sub>) می‌باشد.

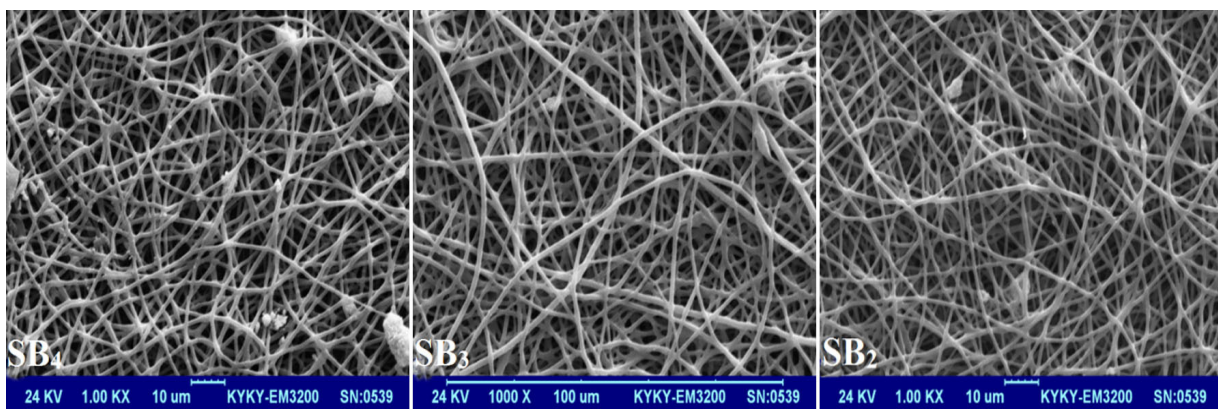
پیوند ضعیفی که با پلیمر برقرار می‌کنند هنگام اعمال تنش شکسته و نقاط تمرکز تنش را تشکیل می‌دهند در نتیجه باعث افت خواص مکانیکی می‌شوند. میزان حجم تخلخل‌های داربست‌های نانوکامپوزیتی نیز از طریق برنامه نویسی مطابق محاسبه شد. همان‌طور که در جدول (۴) مشاهده می‌شود با افزایش ذرات شیشه حجم تخلخل‌ها در لایه اول کاهش می‌یابد اما تغییرات آن بسیار ناچیز و قابل صرف‌نظر است. نکته قابل توجه این است که تمامی داربست‌ها دارای حجم تخلخل بالا (۹۴٪) بوده و با حرکت از لایه اول به لایه سوم میزان تخلخل‌ها کاهش می‌یابد. تاثیر بسیار اندک مقدار نانوذرات شیشه برروی حجم تخلخل‌ها می‌تواند نقطه قوتی برای این داربست‌ها محسوب شود.

جدول ۴. میزان حجم تخلخل‌ها در داربست‌های نانوکامپوزیتی بر حسب درصد.

نام نمونه	تخخل لایه اول	تخخل لایه دوم	تخخل لایه سوم
SB <sub>۱</sub>	۹۴,۹۴	۸۴,۱۴	۷۳,۱۳
SB <sub>۲</sub>	۹۴,۵۰	۸۴,۴۴	۷۴,۶۳
SB <sub>۴</sub>	۹۴,۳۶	۸۴,۲۸	۷۴,۴۵

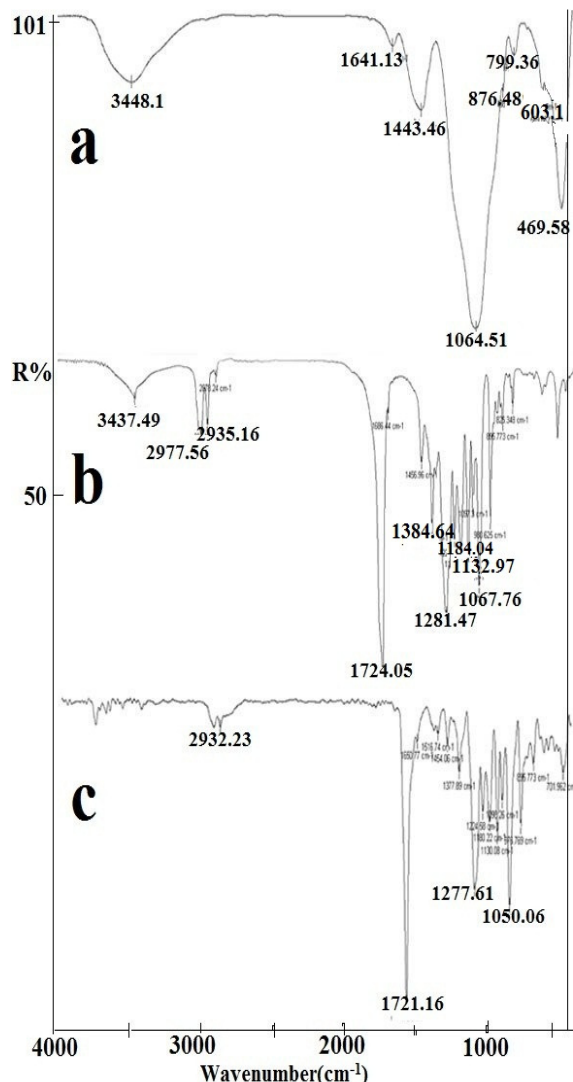
### ۳-۳-۳- تصاویر SEM از داربست نانوکامپوزیتی PHB/nBG

برای اثبات حضور ذرات شیشه زیست‌فعال برروی الیاف داربست پلیمری و همچنین بررسی اثر این ذرات با درصدهای وزنی متفاوت بر روی مرفو‌لژی الیاف، از داربست‌های نانوکامپوزیتی SB<sub>2</sub>, SB<sub>3</sub>, SB<sub>4</sub> که به ترتیب دارای ۱۰ و ۱۵ درصد وزنی از ذرات شیشه‌های زیست‌فعال بودند به‌طور جداگانه تصاویر SEM گرفته شد (شکل ۴). همان‌طور که در شکل مشاهده می‌شود حضور ذرات بر روی الیاف کاملاً مشخص است. در واقع در این شکل‌ها ساختار نانوکامپوزیتی الیافی PHB/nBG دیده می‌شود که نانوذرات شیشه برروی الیاف پلیمری قرار گرفته‌اند. حضور ذرات شیشه زیست‌فعال بر روی این الیاف باعث زیست‌فعال شدن این داربست‌ها می‌شود و نتیجه آن شکل گرفتن پیوند مناسب بین بافت میزان و داربست است اما با افزایش بیش از حد مقدار وزنی ذرات شیشه زیست‌فعال پدیده آگلومره شدن رخ می‌دهد که تصویر نمونه SB<sub>4</sub> در شکل (۴) این پدیده را به طور واضح نشان می‌دهد. برای نمونه SB<sub>3</sub> نیز آگلومره شدن رخ می‌دهد اما میزان آن کم است. ایجاد نقاط توده‌ای شکل به شدت بر روی خواص مکانیکی داربست تاثیر گذارد است و به دلیل ایجاد



شکل ۴- تصاویر SEM نانو کامپوزیت‌های PHB/Bioglass

نشان دهنده برقراری پیوند بین گروه کربونیل پلیمر و Ca-O  
شیشه زیست فعال است [۱۶].



شکل ۵ نتایج طیف (a) FTIR پودر شیشه زیست فعال (b) پلیمر PHB/nBG (c) کامپوزیت PHB

#### ۴-۳- نتایج FTIR

شکل (۵) نمودار (a) نتایج طیف IR شیشه زیست فعال را نشان می‌دهد. به طور کلی ۴ پیک اصلی در آن دیده می‌شود. پیک ۱۰۴۰ تا ۱۱۰۰ مربوط به ارتعاشات کششی پیوند غیر متقارن Si-O-Si و پیک ۷۹۳ تا ۸۱۴ متعلق به ارتعاشات کششی پیوند متقارن Si-O-Si می‌باشد. جذب در محدوده ۹۵۰ مربوط به پیوند Ca-O-Si بوده [۱۵] و پیوند O-H و آب جذب شده در محدوده ۳۴۳۰ مشاهده می‌شود. پیک ۲۳۶۲ مربوط به اتمسفر می‌باشد [۱۶] و پیوند Ca-O نیز در محدوده ۶۴۰ تا ۶۷۰ مشاهده می‌شود.

شکل (۵) نمودار (b) مربوط به نتایج طیف IR پلیمر پلی‌هیدروکسی‌بوتیرات است. در این نمودار کلیه پیک‌های بین ۸۰۰ تا ۱۰۰۰ بر سانتی‌متر مربوط به پیوندهای C-C می‌باشد. جذب در ۱۱۳۳ مربوط به ارتعاشات کششی نامتقارن C-O-C و در ۱۱۸۴ مربوط به ارتعاشات کششی متقارن این پیوند بوده و همچنین پیک ۱۳۸۴ مربوط به گروه متیل CH<sub>3</sub> می‌باشد. در ۱۷۲۴ بر سانتی‌متر، پیوند گروه کربونیل ظاهر می‌شود [۱۸]. پیک مربوط به گروه‌های انتهایی هیدروکسیل را می‌توان در محدوده ۳۶۸۰-۳۱۰۰ بر سانتی‌متر مشاهده کرد.

نتایج طیف IR از داریست نانوکامپوزیتی در شکل (c) نشان داده شده است. با توجه به شکل می‌توان نشانه هایی از برهمکنش بین پلیمر و شیشه مشاهده کرد. به عنوان نمونه پیک مربوط به کربونیل کوچکتر شده به طوری که به عدد موجی ۱۷۲۱ انتقال یافته است که این نشان دهنده برقراری پیوندهای هیدروژنی بین گروه کربونیل پلیمر با گروه‌های هیدروکسیل و فسفات شیشه زیست فعال می‌باشد. با توجه به نتایج مطالعات قبلی می‌توان گفت جابجاگی بعضی از پیک‌ها

- nanocomposite fibrous scaffolds of P3HB/nHA for bone tissue engineering", *17th Annual Conference on Biomedical Engineering*, Isfahan, Iran, 2010.
7. Knowles, J. C., Mahmud, F. A., Hastings, G. W, "Piezoelectric characteristics of a polyhydroxybutyrate-based composite", *Clinical Materials*, 1990, 8, 155-158.
  8. Mortazavi, V., Mehdikhani Nahrkhalaji, M., Fathi, M. H., Mousavi, S. B., Nasr Esfahani, B, "Antibacterial effects of sol-gel-derived bioactive glass nanoparticle on aerobic bacteria", *J Biomed Mater Res A*, 2010, 94, 160-168.
  9. Fathi, M.H., Doost Mohammadi, A, "Preparation and characterization of sol-gel bioactive glass coating for improvement of biocompatibility of human body implant", *Materials Science and Engineering: A*, 2008, 474, 128-133.
  10. Guan, D., Chen, Z., Huang, Ch., Lin, Y, "Attachment, proliferation and differentiation of BMSCs on gas-jet/electrospun nHAP/PHB fibrous scaffolds", *Applied Surface Science*, 2008, 255, 324-327.
  11. Sombatmankhong, K., Sanchavanakit, N., Pavasant, P., Supaphol, P, "Bone Scaffolds from Electrospun Fiber Mats of Poly(3-Hydroxybutyrate), Poly(3-Hydroxybutyrate-co-3-hydroxyvalerate) and their Blend", 2007, 48, 1419-1427.
  12. Pașcu, I. E., Stokes, J., McGuinness, B. G, "Electrospun Composites of PHBV, Silk Fibroin and Nano-Hydroxyapatite for Bone Tissue Engineering", *Materials Science and Engineering*, 2013, 4905-4916.
  13. Taherani, A. H., Zadhoush, A., Karbasi, S., Sadeghi, H., abadi, A, " Scaffold Percolative efficiency: in vitro evaluation of the structural for electrospun mats", *Journal of Materials Science: Materials in Medicine*, 2010, 21, 2989-2998.
  14. Ghasemi-Mobarakeh, L., Semnani, D., Morshed, M, "A Novel Method for Porosity Measurement of Various Surface Layers of Nanofibers Mat Using Image Analysis for Tissue Engineering Applications", *Journal of Applied Polymer Science*, 2007, 106, 2536-2542.
  15. Pappas, G. S., Liatsi, P., Kartsonakis, I. A., Danilidis, I., Kordas, G, "Synthesis and characterization of new SiO<sub>2</sub>-CaO hollow nanospheres by sol-gel method: Bioactivity of the new system", *Journal of Non-Crystalline Solids*, 2008, 354, 755-760.
  ۱۶. حاجی علی، "سترن و ارزیابی خواص مکانیکی، تخریب پذیری و زیستفعالی داریستهای کامپوزیتی پلی هیدروکسی بوتیرات/نانو ذرات شیشه زیست فعلی جهت مهندسی بافت استخوان". دانشکده مهندسی مواد، دانشگاه علم و صنعت ایران. ۱۳۸۹.
  17. Shajan, X. S., Mahadevan, C, " FT-IR spectroscopic and thermal studies on pure and impurity added calcium tartrate tetrahydrate crystals", *Cryst Res Technol*, 2005, 40, 598-602.
  18. Xua, J., Guoa, B. H., Yang, R., Wub, Q., Chenb, G. Q., Zhang, Z. M, "In situ FTIR study on melting and crystallization of Polyhydroxyalkanoates".*Polymer*, 2002, 43, 6893-6899.
  ۱۹. ز. ناظمی، "بررسی اثر ضدباکتریایی نانوذرات شیشه زیستفعال و روی - کلسیم فسفات دوفازی"، دانشکده مهندسی مواد، دانشگاه سمنان، ۱۳۹۲.
  ۲۰. حیدرخان تهرانی، " ساخت داریستهای نانوکامپوزیتی پلی هیدروکسی بوتیرات / هیدروکسی آپاتیت به روش الکتروریسی و به منظور استفاده در مهندسی بافت ". دانشکده مهندسی نساجی، دانشگاه صنعتی اصفهان. ۱۳۸۹.

#### ۴- نتیجه گیری

در این پژوهش داریستهای الیافی نانوکامپوزیت PHB/Bioglass ساخته شده به روش الکتروریسی مورد ارزیابی قرار گرفتند. صرفنظر از میزان نانوذرات شیشه زیستفعال تقریباً تمامی داریستها دارای ساختار متخلخل از نوع درون مرتبط با حجم تخملخ بالای ۹۴ درصد می‌باشند. همچنین ذرات شیشه بر روی نانو الیاف توزیع شدند و فقط زمانی که میزان آنها به ۱۰ درصد وزنی و بالاتر از آن افزایش یابد پدیده آگلومره شدن مشاهده می‌شود. نتایج FTIR نیز بیانگر برهمکنش خوب ذرات شیشه با الیاف پلیمری در فصل مشترک می‌باشد که نتیجه آن ایجاد خواص مکانیکی مطلوب برای داریستها می‌باشد. بدیهی است با افزایش نانوذرات شیشه به دلیل رخ دادن پدیده آگلومره شدن با افت خواص رویرو می‌شود. نهایتاً می‌توان گفت داریست الیافی نانوکامپوزیتی PHB/Bioglass با ۷/۵ درصد نانوذرات شیشه به دلیل داشتن شرایط بهینه می‌تواند پیشنهاد خوبی برای تحقیق و بررسی بیشتر به منظور استفاده در مهندسی بافت استخوان باشد.

#### مراجع

1. Hajali, H., Karbasi, S., Hosseinalipour, M., Rezaie, H. R, "preparation of a novel biodegradable nanocomposite scaffold based on poly (3-hydroxybutyrate) / bioglass nanoparticles for bone tissue engineering", *Journal of Material science:Materials in Medicine*, 2010, 21, 2125-2132.
2. Nemati Hayati, M. Hosseinalipour, H. R. Rezaie, M.A. Shokrgozar, "Characterization of poly(3-hydroxybutyrate)/nano-hydroxyapatite composite scaffolds fabricated without the use of organic solvents for bone tissue engineering applications", *Materials Science and Engineering: C*, 2012, 32, 416-422.
3. Saadat, A., Behnamghader, A. A., Karbasi, S., Abedi, D., Soleimani, M., Shafiee, A, "Comparison of Acellular and Cellular Bioactivity of Poly 3-hydroxybutyrate/hydroxyapatite Nanocomposite and Poly 3-hydroxybutyrate Scaffolds", *Biotechnology and Bioprocess Engineering*, 2012.
4. Hajiali, H., Hosseinalipour, M., Karbasi, S., Shokrgozar, M. A," The influence of bioglass nanoparticles on the biodegradation and biocompatibility of poly (3-hydroxybutyrate) scaffolds", 2012.
5. Guo-Qiang Chen, Qiong Wu, "The application of polyhydroxyalkanoates as tissue engineering materials", *Biomaterials*, 2005, 26, 6565-6578.
6. A. H. Taherani, A. H., Zadhoush, A., Karbasi, S, "Preparing